

# Percolation sur des triangulations aléatoires

Loïc Richier

UMPA, École Normale Supérieure de Lyon

Colloque Inter'Actions - 27 Mai 2016

# Cartes

---

## **Motivations :**

- Combinatoire : énumération, théorème des quatre couleurs.

# Cartes

---

## **Motivations :**

- Combinatoire : énumération, théorème des quatre couleurs.
- Physique théorique : intégrales de matrices, théorie de la gravité quantique (en dimension 2).

# Cartes

---

## **Motivations :**

- Combinatoire : énumération, théorème des quatre couleurs.
- Physique théorique : intégrales de matrices, théorie de la gravité quantique (en dimension 2).
- Algèbre : hiérarchie intégrable, théorie des représentations.

# Cartes

---

## Motivations :

- Combinatoire : énumération, théorème des quatre couleurs.
- Physique théorique : intégrales de matrices, théorie de la gravité quantique (en dimension 2).
- Algèbre : hiérarchie intégrable, théorie des représentations.
- Probabilités : modèle de surface discrète aléatoire.

# Cartes

---

## Motivations :

- Combinatoire : énumération, théorème des quatre couleurs.
- Physique théorique : intégrales de matrices, théorie de la gravité quantique (en dimension 2).
- Algèbre : hiérarchie intégrable, théorie des représentations.
- Probabilités : modèle de surface discrète aléatoire.

**But** : Comprendre le comportement de modèles de physique statistique (marche aléatoire, **percolation**, modèle d'Ising...) sur un réseau aléatoire infini "uniforme".

# Carte planaire

---

## Définition

*Une carte planaire est un plongement propre d'un graphe fini connexe dans la sphère  $\mathbb{S}^2$  (à homéomorphisme préservant l'orientation près).*

# Carte planeaire

---

## Définition

*Une carte planeaire est un plongement propre d'un graphe fini connexe dans la sphère  $\mathbb{S}^2$  (à homéomorphisme préservant l'orientation près).*

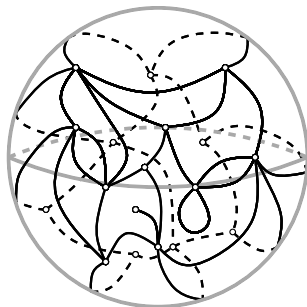


Figure: Une carte planeaire.



# Carte planeaire

---

## Définition

Une carte planeaire est un plongement propre d'un graphe fini connexe dans la sphère  $\mathbb{S}^2$  (à homéomorphisme préservant l'orientation près).

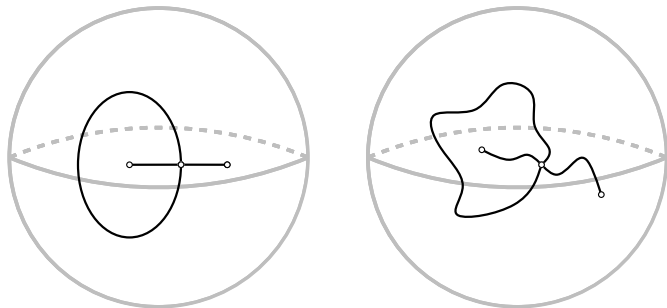


Figure: Deux représentants **isomorphes** de la même carte planeaire.

# Carte planeaire

---

## Définition

*Une carte planeaire est un plongement propre d'un graphe fini connexe dans la sphère  $\mathbb{S}^2$  (à homéomorphisme préservant l'orientation près).*

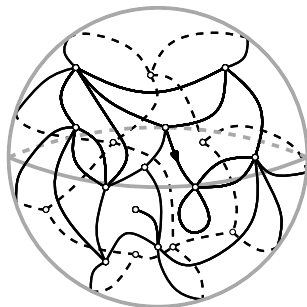


Figure: Une carte planeaire **enracinée**.

# Carte planaire

---

## Définition

*Une carte planaire est un plongement propre d'un graphe fini connexe dans la sphère  $\mathbb{S}^2$  (à homéomorphisme préservant l'orientation près).*

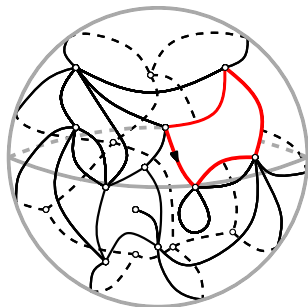


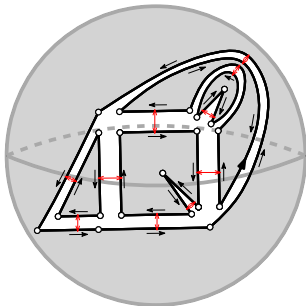
Figure: Une face de degré 4.

# Carte planeaire

---

## Définition

*Une carte planeaire est le recollement d'un nombre fini de polygones formant une sphère topologique.*



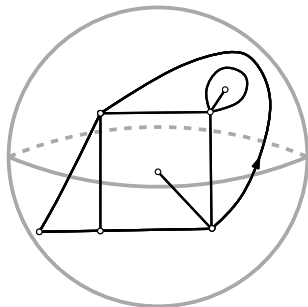
**Figure:** Un recollement de polygones formant une carte planeaire.

# Carte planeaire

---

## Définition

*Une carte planeaire est le recollement d'un nombre fini de polygones formant une sphère topologique.*



**Figure:** Un recollement de polygones formant une carte planeaire.

# Topologie locale

---

$\mathcal{M}^f = \{\text{cartes planaires enracinées}\}.$

## Topologie locale

---

$\mathcal{M}^f = \{\text{cartes planaires enracinées}\}$ .

### Définition

La topologie locale sur  $\mathcal{M}^f$  est induite par la distance  $d_{loc}$  définie pour tout  $\mathbf{m}, \mathbf{m}' \in \mathcal{M}^f$  par :

$$d_{loc}(\mathbf{m}, \mathbf{m}') := (1 + \sup \{r \geq 0 \mid B_r(\mathbf{m}) \simeq B_r(\mathbf{m}')\})^{-1}.$$

## Topologie locale

$\mathcal{M}^f = \{\text{cartes planaires enracinées}\}$ .

### Définition

La topologie locale sur  $\mathcal{M}^f$  est induite par la distance  $d_{loc}$  définie pour tout  $\mathbf{m}, \mathbf{m}' \in \mathcal{M}^f$  par :

$$d_{loc}(\mathbf{m}, \mathbf{m}') := (1 + \sup \{r \geq 0 \mid B_r(\mathbf{m}) \simeq B_r(\mathbf{m}')\})^{-1}.$$

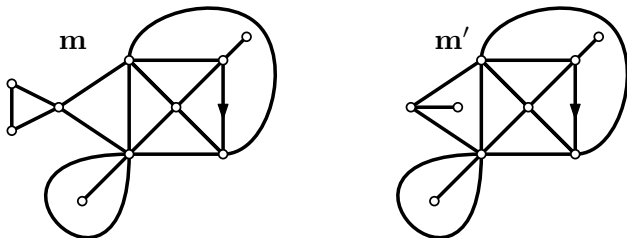


Figure: La distance locale entre  $\mathbf{m}$  et  $\mathbf{m}'$ .



# Topologie locale

$\mathcal{M}^f = \{\text{cartes planaires enracinées}\}$ .

## Définition

La topologie locale sur  $\mathcal{M}^f$  est induite par la distance  $d_{loc}$  définie pour tout  $\mathbf{m}, \mathbf{m}' \in \mathcal{M}^f$  par :

$$d_{loc}(\mathbf{m}, \mathbf{m}') := (1 + \sup \{r \geq 0 \mid B_r(\mathbf{m}) \simeq B_r(\mathbf{m}')\})^{-1}.$$

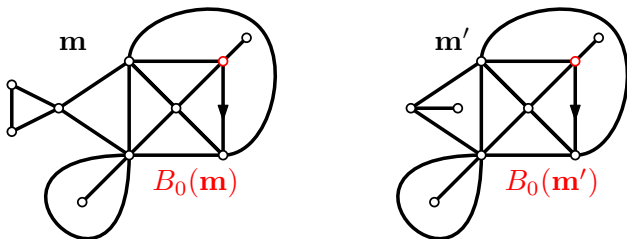


Figure: La distance locale entre  $\mathbf{m}$  et  $\mathbf{m}'$ .

# Topologie locale

$\mathcal{M}^f = \{\text{cartes planaires enracinées}\}$ .

## Définition

La topologie locale sur  $\mathcal{M}^f$  est induite par la distance  $d_{loc}$  définie pour tout  $\mathbf{m}, \mathbf{m}' \in \mathcal{M}^f$  par :

$$d_{loc}(\mathbf{m}, \mathbf{m}') := (1 + \sup \{r \geq 0 \mid B_r(\mathbf{m}) \simeq B_r(\mathbf{m}')\})^{-1}.$$

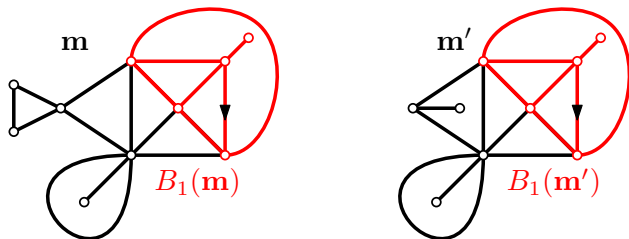


Figure: La distance locale entre  $\mathbf{m}$  et  $\mathbf{m}'$ .

# Topologie locale

$\mathcal{M}^f = \{\text{cartes planaires enracinées}\}$ .

## Définition

La topologie locale sur  $\mathcal{M}^f$  est induite par la distance  $d_{loc}$  définie pour tout  $\mathbf{m}, \mathbf{m}' \in \mathcal{M}^f$  par :

$$d_{loc}(\mathbf{m}, \mathbf{m}') := (1 + \sup \{r \geq 0 \mid B_r(\mathbf{m}) \simeq B_r(\mathbf{m}')\})^{-1}.$$

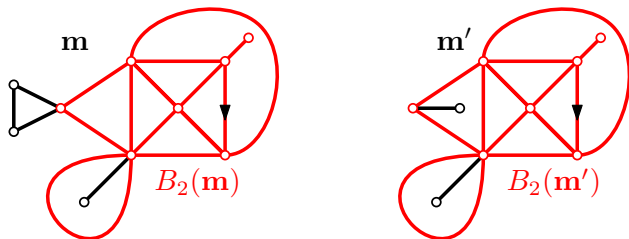


Figure: La distance locale entre  $\mathbf{m}$  et  $\mathbf{m}'$ .

## Topologie locale

$\mathcal{M}^f = \{\text{cartes planaires enracinées}\}$ .

### Définition

La topologie locale sur  $\mathcal{M}^f$  est induite par la distance  $d_{loc}$  définie pour tout  $\mathbf{m}, \mathbf{m}' \in \mathcal{M}^f$  par :

$$d_{loc}(\mathbf{m}, \mathbf{m}') := (1 + \sup \{r \geq 0 \mid B_r(\mathbf{m}) \simeq B_r(\mathbf{m}')\})^{-1}.$$

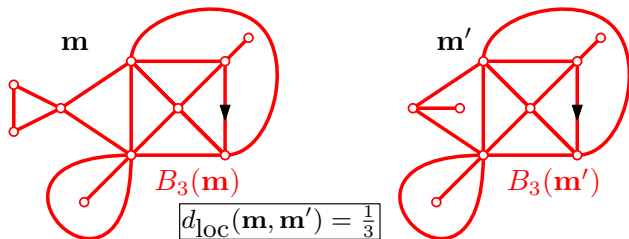


Figure: La distance locale entre  $\mathbf{m}$  et  $\mathbf{m}'$ .

## Triangulation uniforme infinie du plan

---

- Triangulation = carte dont toutes les faces ont degré 3.

## Triangulation uniforme infinie du plan

---

- Triangulation = carte dont toutes les faces ont degré 3.
- Triangulation 2-connexe = sans boucle.

## Triangulation uniforme infinie du plan

---

- Triangulation = carte dont toutes les faces ont degré 3.
- Triangulation 2-connexe = sans boucle.
- $\mathcal{M}_n = \{\text{triangulations enracinées à } n \text{ sommets}\}$ .

## Triangulation uniforme infinie du plan

---

- Triangulation = carte dont toutes les faces ont degré 3.
- Triangulation 2-connexe = sans boucle.
- $\mathcal{M}_n = \{\text{triangulations enracinées à } n \text{ sommets}\}$ .
- $\mathbf{P}_n = \text{mesure uniforme sur } \mathcal{M}_n$ .



# Triangulation uniforme infinie du plan

---

- Triangulation = carte dont toutes les faces ont degré 3.
- Triangulation 2-connexe = sans boucle.
- $\mathcal{M}_n = \{\text{triangulations enracinées à } n \text{ sommets}\}$ .
- $\mathbf{P}_n = \text{mesure uniforme}$  sur  $\mathcal{M}_n$ .

## Théorème (Angel, Schramm '03)

*Au sens faible (pour la topologie locale),*

$$\mathbf{P}_n \xrightarrow[n \rightarrow +\infty]{} \mathbf{P}_\infty.$$

## Triangulation uniforme infinie du plan

---

- Triangulation = carte dont toutes les faces ont degré 3.
- Triangulation 2-connexe = sans boucle.
- $\mathcal{M}_n = \{\text{triangulations enracinées à } n \text{ sommets}\}$ .
- $\mathbf{P}_n =$  **mesure uniforme** sur  $\mathcal{M}_n$ .

### Théorème (Angel, Schramm '03)

*Au sens faible (pour la topologie locale),*

$$\mathbf{P}_n \xrightarrow[n \rightarrow +\infty]{} \mathbf{P}_\infty.$$

$\mathbf{P}_\infty =$  “Uniform Infinite Planar Triangulation” (UIPT).

## Plongement

---

$\mathcal{P}_\infty$  est supportée par les triangulations du **plan**.

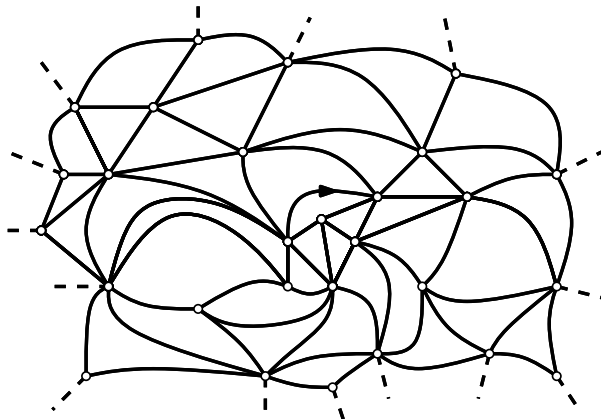


Figure: Un plongement de l'UIPT dans le plan.

## Triangulation uniforme infinie du demi-plan

---

- Triangulation du  $m$ -gone = carte dont toutes les faces ont degré 3 sauf une, la face externe, de degré  $m$  et à **bord simple**.

## Triangulation uniforme infinie du demi-plan

---

- Triangulation du  $m$ -gone = carte dont toutes les faces ont degré 3 sauf une, la face externe, de degré  $m$  et à **bord simple**.

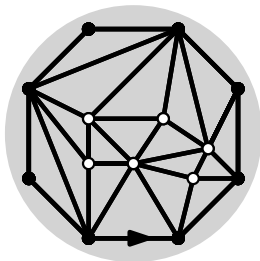


Figure: Une triangulation de l'octogone avec 6 sommets internes.

## Triangulation uniforme infinie du demi-plan

---

- Triangulation du  $m$ -gone = carte dont toutes les faces ont degré 3 sauf une, la face externe, de degré  $m$  et à **bord simple**.
- $\mathcal{M}_{n,m} = \{\text{triangulations du } m\text{-gone avec } n \text{ sommets internes, enracinées sur le bord}\}$ .

## Triangulation uniforme infinie du demi-plan

---

- Triangulation du  $m$ -gone = carte dont toutes les faces ont degré 3 sauf une, la face externe, de degré  $m$  et à **bord simple**.
- $\mathcal{M}_{n,m} = \{\text{triangulations du } m\text{-gone avec } n \text{ sommets internes, enracinées sur le bord}\}$ .
- $\mathbf{P}_{n,m} = \text{mesure uniforme sur } \mathcal{M}_{n,m}$ .

## Triangulation uniforme infinie du demi-plan

---

- Triangulation du  $m$ -gone = carte dont toutes les faces ont degré 3 sauf une, la face externe, de degré  $m$  et à **bord simple**.
- $\mathcal{M}_{n,m} = \{\text{triangulations du } m\text{-gone avec } n \text{ sommets internes, enracinées sur le bord}\}$ .
- $\mathbf{P}_{n,m} = \text{mesure uniforme sur } \mathcal{M}_{n,m}$ .

### Théorème (Angel '04)

*Au sens faible (pour la topologie locale),*

$$\mathbf{P}_{n,m} \xrightarrow{n \rightarrow +\infty} \mathbf{P}_{\infty,m} \xrightarrow{m \rightarrow +\infty} \mathbf{P}_{\infty,\infty}.$$



## Triangulation uniforme infinie du demi-plan

---

- Triangulation du  $m$ -gone = carte dont toutes les faces ont degré 3 sauf une, la face externe, de degré  $m$  et à **bord simple**.
- $\mathcal{M}_{n,m} = \{\text{triangulations du } m\text{-gone avec } n \text{ sommets internes, enracinées sur le bord}\}$ .
- $\mathbf{P}_{n,m} = \text{mesure uniforme sur } \mathcal{M}_{n,m}$ .

### Théorème (Angel '04)

*Au sens faible (pour la topologie locale),*

$$\mathbf{P}_{n,m} \xrightarrow{n \rightarrow +\infty} \mathbf{P}_{\infty,m} \xrightarrow{m \rightarrow +\infty} \mathbf{P}_{\infty,\infty}.$$

$\mathbf{P}_{\infty,\infty} = \text{"Uniform Infinite Half-Planar Triangulation" (UIHPT).}$

## Plongement

$\mathcal{P}_{\infty, \infty}$  est supportée par les triangulations du **demi-plan** à bord infini.

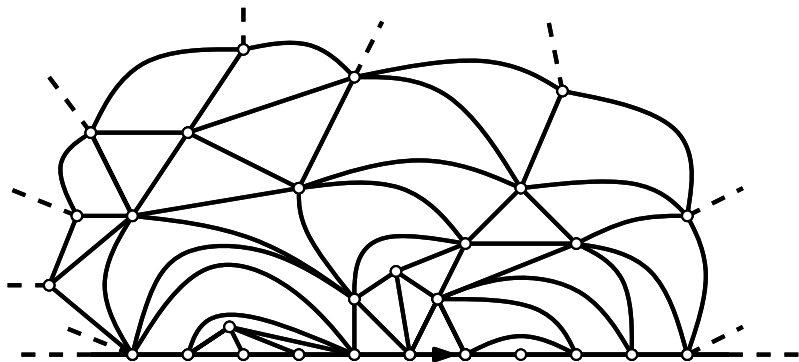


Figure: Un plongement de l'UIHPT dans le demi-plan.

## Propriété de Markov spatiale

---

### Théorème (Angel '04)

Soit  $M$  de loi  $\mathbf{P}_{\infty, \infty}$ , et  $A$  la face incidente à la racine. Alors  $M \setminus A$  a une unique composante connexe infinie

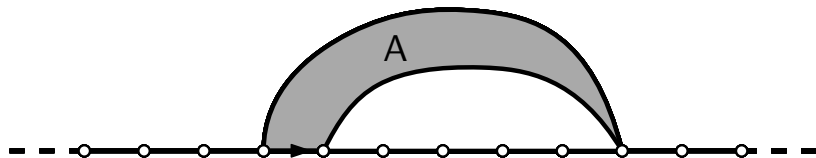


Figure: La propriété de Markov spatiale.

## Propriété de Markov spatiale

### Théorème (Angel '04)

Soit  $M$  de loi  $\mathbf{P}_{\infty, \infty}$ , et  $A$  la face incidente à la racine. Alors  $M \setminus A$  a une unique composante connexe infinie  $M'$  de loi  $\mathbf{P}_{\infty, \infty}$ .

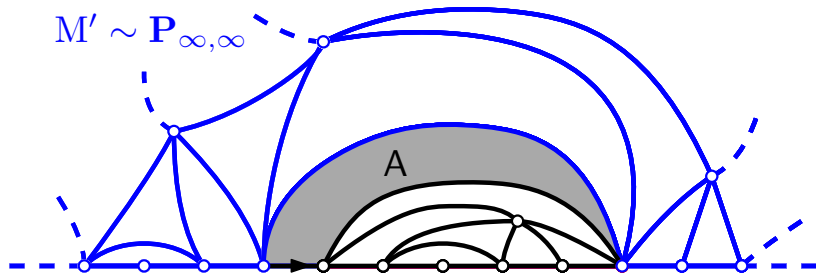
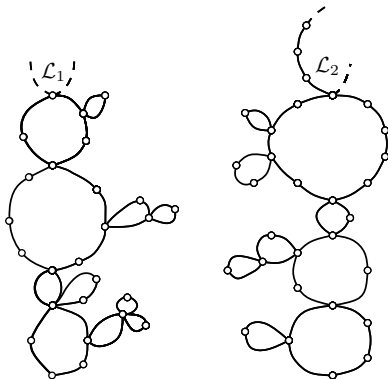


Figure: La propriété de Markov spatiale.

## Construction alternative de l'UIHPT

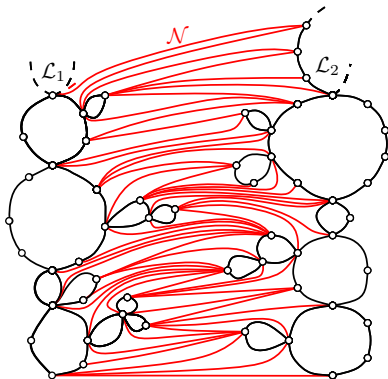
---



### Théorème

Soient  $\mathcal{L}_1$  et  $\mathcal{L}_2$  deux **arbres à boucles indépendants**.

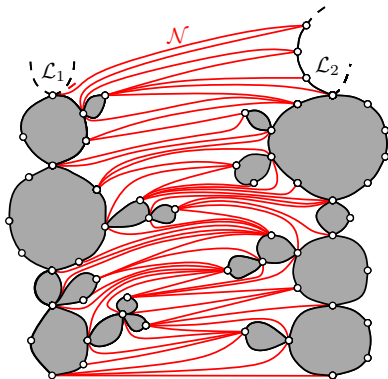
## Construction alternative de l'UIHPT



### Théorème

Soient  $\mathcal{L}_1$  et  $\mathcal{L}_2$  deux arbres à boucles infinis indépendants.  
On connecte  $\mathcal{L}_1$  et  $\mathcal{L}_2$  par un **collier uniforme infini**  $\mathcal{N}$ ,

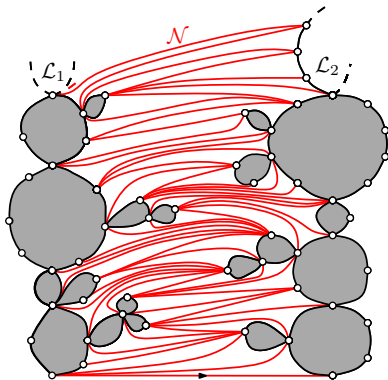
## Construction alternative de l'UIHPT



### Théorème

Soient  $\mathcal{L}_1$  et  $\mathcal{L}_2$  deux arbres à boucles infinis indépendants.  
On connecte  $\mathcal{L}_1$  et  $\mathcal{L}_2$  par un collier uniforme infini  $\mathcal{N}$ , et remplit les boucles avec des **triangulations de Boltzmann** indépendantes.

## Construction alternative de l'UIHPT



### Théorème

Soient  $\mathcal{L}_1$  et  $\mathcal{L}_2$  deux arbres à boucles infinis indépendants.  
On connecte  $\mathcal{L}_1$  et  $\mathcal{L}_2$  par un collier uniforme infini  $\mathcal{N}$ , et remplit les boucles avec des triangulations de Boltzmann indépendantes.  
Alors, l'objet obtenu a loi  $\mathbf{P}_{\infty, \infty}$ .



## Construction alternative de l'UIHPT

---

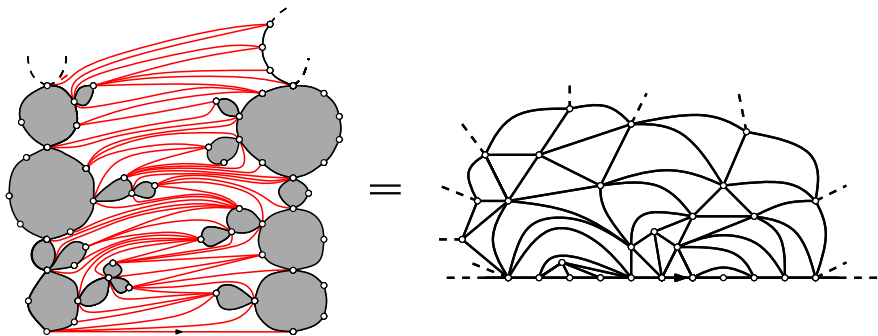


Figure: Deux constructions de l'UIHPT.

# Percolation

Percolation de Bernoulli sur l'UIHPT : chaque site est ouvert (colorié en noir) avec probabilité  $p \in [0, 1]$  et fermé (colorié en blanc) sinon, indépendamment des autres sites.

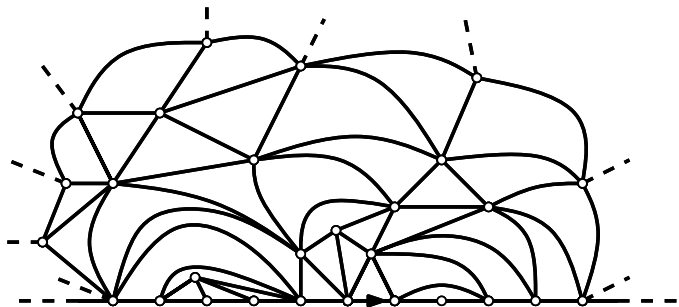


Figure: L'UIHPT.

# Percolation

Percolation de Bernoulli sur l'UIHPT : chaque **site** est ouvert (colorié en noir) avec probabilité  $p \in [0, 1]$  et fermé (colorié en blanc) sinon, indépendamment des autres sites.

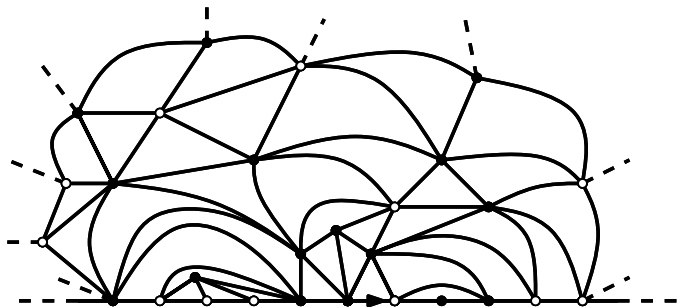


Figure: Percolation par **site** sur l'UIHPT.

# Transition de phase

---

Le modèle de percolation admet une **transition de phase**.

## Transition de phase

---

Le modèle de percolation admet une **transition de phase**.

- $\mathcal{C}$  := cluster de percolation ouvert issu de l'origine.

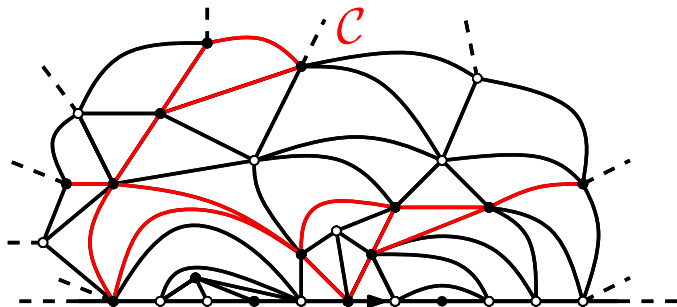


Figure: Cluster de percolation par site ouvert sur l'UIHPT.

## Transition de phase

---

Le modèle de percolation admet une **transition de phase**.

- $\mathcal{C}$  := cluster de percolation ouvert issu de l'origine.
- Percolation :  $\{|\mathcal{C}| = +\infty\}$ .

## Transition de phase

---

Le modèle de percolation admet une **transition de phase**.

- $\mathcal{C} :=$  cluster de percolation ouvert issu de l'origine.
- Percolation :  $\{|\mathcal{C}| = +\infty\}$ .
- Probabilité de percolation :  $\Theta(p) := \mathbb{P}_p(|\mathcal{C}| = +\infty)$ .

## Transition de phase

---

Le modèle de percolation admet une **transition de phase**.

- $\mathcal{C} :=$  cluster de percolation ouvert issu de l'origine.
- Percolation :  $\{|\mathcal{C}| = +\infty\}$ .
- Probabilité de percolation :  $\Theta(p) := \mathbb{P}_p(|\mathcal{C}| = +\infty)$ .

Il existe un point critique  $p_c$  appelé **seuil de percolation** tel que

$$\begin{cases} \Theta(p) = 0 & \text{si } p < p_c \\ \Theta(p) > 0 & \text{si } p > p_c \end{cases} .$$



## Transition de phase

---

Le modèle de percolation admet une **transition de phase**.

- $\mathcal{C} :=$  cluster de percolation ouvert issu de l'origine.
- Percolation :  $\{|\mathcal{C}| = +\infty\}$ .
- Probabilité de percolation :  $\Theta(p) := \mathbb{P}_p(|\mathcal{C}| = +\infty)$ .

Il existe un point critique  $p_c$  appelé **seuil de percolation** tel que

$$\begin{cases} \Theta(p) = 0 & \text{si } p < p_c \\ \Theta(p) > 0 & \text{si } p > p_c \end{cases} .$$

### Théorème (Angel '04)

$$p_c = \frac{1}{2}.$$

*De plus, il n'y a pas percolation au point critique p.s..*

## Question

---

“À quoi ressemble une triangulation uniforme infinie du demi-plan avec un cluster critique infini ?”

# Cadre

---

Modèle de percolation **critique** par **site** sur l'**UIHPT** ( $p = p_c = 1/2$ ).

# Cadre

---

Modèle de percolation **critique** par **site** sur l'**UIHPT** ( $p = p_c = 1/2$ ).



Figure: Condition au bord.

# Incipient Infinite Cluster

---

## **Théorème**

*Pour la percolation par site sur l'UIHPT, au sens faible (pour la topologie locale),*

# Incipient Infinite Cluster

---

## **Théorème**

*Pour la percolation par site sur l'UIHPT, au sens faible (pour la topologie locale),*

$$\mathbb{P}_{p_c}(\cdot \mid \|\mathcal{C}\| \geq n)$$

# Incipient Infinite Cluster

---

## Théorème

*Pour la percolation par site sur l'UIHPT, au sens faible (pour la topologie locale),*

$$\mathbb{P}_{p_c}(\cdot \mid \|\mathcal{C}\| \geq n) \xrightarrow{n \rightarrow +\infty} \mathbb{P}_{\text{IIC}}.$$

# Incipient Infinite Cluster

---

## Théorème

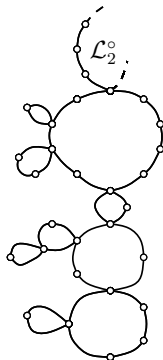
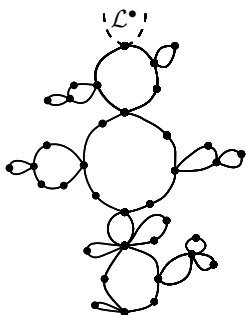
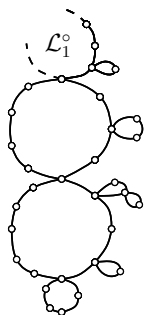
*Pour la percolation par site sur l'UIHPT, au sens faible (pour la topologie locale),*

$$\mathbb{P}_{p_c}(\cdot \mid \|\mathcal{C}\| \geq n) \xrightarrow[n \rightarrow +\infty]{} \mathbb{P}_{\text{IIC}}.$$

$\mathbb{P}_{\text{IIC}}$  = “amas critique émergent” (Incipient Infinite Cluster).



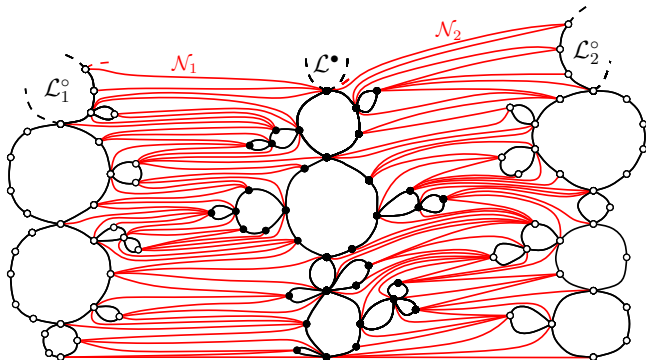
## Décomposition de l'IIC



### Théorème

Soient  $\mathcal{L}^\bullet$ ,  $\mathcal{L}_1^\circ$  et  $\mathcal{L}_2^\circ$  des arbres à boucles infinis indépendants.

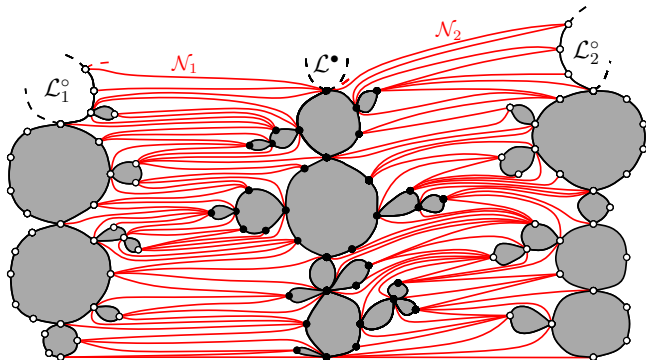
## Décomposition de l'IIC



### Théorème

Soient  $\mathcal{L}^\bullet$ ,  $\mathcal{L}_1^\circ$  et  $\mathcal{L}_2^\circ$  des arbres à boucles infinis indépendants.  
On connecte  $\mathcal{L}^\bullet$ ,  $\mathcal{L}_1^\circ$  et  $\mathcal{L}_2^\circ$  par des **colliers uniformes infinis**,

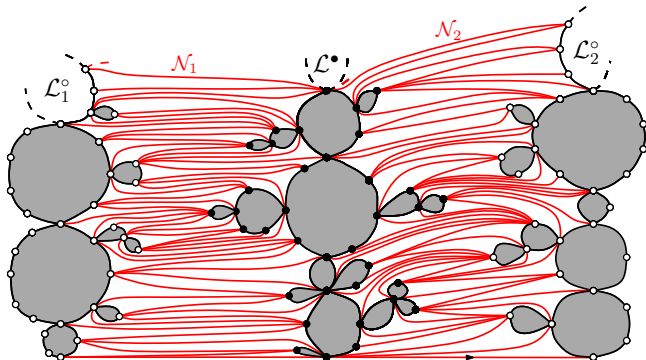
## Décomposition de l'IIC



### Théorème

Soient  $\mathcal{L}^\bullet$ ,  $\mathcal{L}_1^\circ$  et  $\mathcal{L}_2^\circ$  des arbres à boucles infinis indépendants. On connecte  $\mathcal{L}^\bullet$ ,  $\mathcal{L}_1^\circ$  et  $\mathcal{L}_2^\circ$  par des colliers uniformes infinis, et remplit les boucles avec des **triangulations de Boltzmann indépendantes**.

## Décomposition de l'IIC



### Théorème

Soient  $\mathcal{L}^\bullet$ ,  $\mathcal{L}_1^\circ$  et  $\mathcal{L}_2^\circ$  des arbres à boucles infinis indépendants. On connecte  $\mathcal{L}^\bullet$ ,  $\mathcal{L}_1^\circ$  et  $\mathcal{L}_2^\circ$  par des colliers uniformes infinis, et remplit les boucles avec des triangulations de Boltzmann indépendantes. Alors, l'objet obtenu a loi  $\mathbb{P}_{\text{IIC}}$ .

## Déformation de la géométrie

L'amas critique émergent peut être obtenu par "chirurgie".

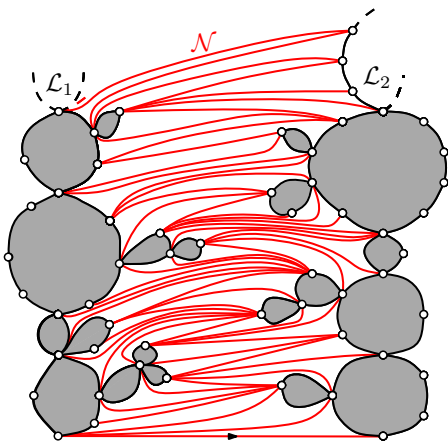


Figure: Décomposition de l'UIHPT.

## Déformation de la géométrie

L'amas critique émergent peut être obtenu par "chirurgie".

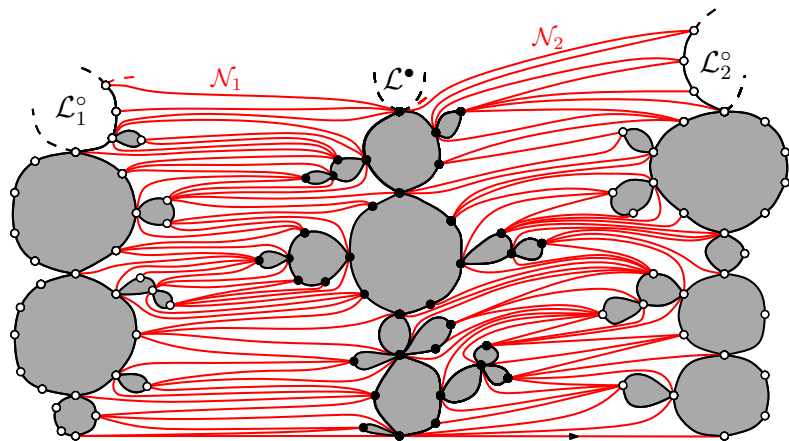


Figure: Décomposition de l'IIC.

# Merci !

